

信州大学工学部 正員 舟谷巖

1. えがき 本稿では、多車線道路における交通密度の計測誤差の分布とそれを用いた計測区間長の考え方および空間オキュパンシーの適正計測区間長の決定法について述べる。

2. 多車線道路における交通密度の計測誤差の分布 車線数を m とし、ある長さの道路区间における交通密度を、その区间の両端での交通量計測によって求めたい方法を採るものとする。このとき、求められた交通密度には、交通量の計測誤差に起因する誤差が含まれてくることが一般的に知られている。すなわち、いま対象道路区间の上流端から流入した車の総台数を N_u 、下流端から流出した車の総台数を N_d 、区间内の初期台数を N_0 、区间長を L としたとき、交通密度 ρ は $\rho = (N_0 + N_u - N_d)/L$ のように表わされることがから、 N_u あるいは N_d に誤差が生ずれば、必然的に ρ にも誤差が含まれるようになるといふことである。さて、対象道路区间両端において全車線に車両検知器を配置し交通量を計測するものとして、第1番目車線において、1台の車が0台ヒカウントされる確率を P_0 、2台ヒカウントされる確率を P_1 とし、それ以外の誤差の発生確率は無視できる程度に小さいものと仮定する。したがって、1台の車が正しく1台ヒカウントされる確率は $(1-P_0-P_1)$ となる。これら2つの確率を用いると、当該車線を n_1 台の車が通過したときに、 n_1 台のアンダーカウントが発生する確率 $P_{n_1}^{\text{u}}$ および n_1 台のオーバーカウントが発生する確率 $P_{n_1}^{\text{o}}$ は、それらが次のように表わされる。

$$P_{n_1}^{\text{u}} = \sum_{\lambda=0}^{n_1} [n_1! / \{(n_1+\lambda)! \lambda! (n_1-\lambda-2\lambda)!\}] \cdot P_0^{\lambda} \cdot P_1^{\lambda} \cdot (1-P_0-P_1)^{n_1-2\lambda} \quad N_0: (n_1-\lambda)/2 \leq n_1 \quad (2)$$

$$P_{n_1}^{\text{o}} = \sum_{\lambda=0}^{n_1} [n_1! / \{(n_1+\lambda)! / (n_1-\lambda-2\lambda)!\}] \cdot P_0^{\lambda} \cdot P_1^{n_1+\lambda} \cdot (1-P_0-P_1)^{n_1-2\lambda} \quad n_1 \text{ が最大の整数} \quad (3)$$

式(2)および式(3)を用いると、一般に第1番目車線に n_1 台、第2番目車線に n_2 台、 …、 第 m 番目車線に n_m 台の車が通過したとき、全体で n 台の交通量のアンダーカウントあるいはオーバーカウントが発生する確率 P_n は、各車線に対応する確率の n_1, n_2, \dots, n_m を組み合して次のように表わされる。

$$P_n = (P_{n_1}^{\text{u}} * P_{n_2}^{\text{u}} * \dots * P_{n_m}^{\text{u}})^{\frac{n}{n_1+n_2+\dots+n_m}} \quad (4)$$

ここで、 $P_{n_i}^{\text{u}}$ は n_i および n_i を代表する確率で、アンダーカウントの場合は n_i は負、オーバーカウントの場合は n_i は正と約束し、式(2), (3)の計算については n_i の絶対値を使用するものとしておく。式(4)は $\frac{n}{n_1+n_2+\dots+n_m}$ がちょうど n となるような n_1, n_2, \dots, n_m のみを組み合わせにつけ、式(2)および式(3)で与えられる確率をかけ合わせ、それらをすべて加えたものを意味するものとする。式(4)で与えられる確率を利用して、対象道路区间内の車の台数に L 台の計測誤差が発生する確率、すなわち当該区间の交通密度に ρ/mL の誤差が発生する確率 $P(\rho)$ は

$P(\rho) = (P_{n_1}^{\text{u}} * P_{n_2}^{\text{u}})_{n_1=\rho} = \rho$ (5) として表わされる。ここに、 $P_{n_i}^{\text{u}}$ は上流端から n_i 台の計測誤差が発生する確率で、 $P_{n_i}^{\text{u}}$ は下流端まで n_i 台の計測誤差が発生する確率であり、式(5)は $n_1=\rho=L$ を満たすあらゆる n_1 の組み合せについて $P_{n_1}^{\text{u}} * P_{n_2}^{\text{u}}$ を計算し、それらをすべて加えて合せたものと意味するものとする。この場合、 ρ の変域は $-N_u \leq \rho \leq N_d$ 、 ρ の変域は $-N_u \leq \rho \leq N_d$ である。ところで、交通量の計測時間が十分に長い場合には、対象道路区间両端の車の通過台数は等しいと仮定でき、かかる条件の下では交通密度の誤差の分散²⁾は、1車線の場合と同様の方法の適用により $\sigma^2 = N \cdot 2 \{ (p+q) - (p-q)^2 \} / mL^2$ (6) のように表わされる。²⁾

ただし、 $N_u = N_d = N$ としている。また、誤差の期待値 μ は $\mu = 0$ (7) である。したがって、いま対象道路区间の交通密度の誤差の変数 W を表すことにすると、チェビシェフの定理より

$P_{\text{prob}}(|W| > C\alpha) < 1/C^2$ (8) が言えるので、 T をとえば平均交通密度 ρ の k 倍 ($0 < k < 1$) 以上の誤差が発生する確率を少くとも与えられた水準 $1/C^2$ 以下にするためには、 $C\alpha \leq \rho T$ (9) が成立しなければならないわけであり $\alpha \leq \rho T / C$ (10) となる。すなわち、式(6)を用いると

$\sqrt{N \cdot 2 \{ (p+q) - (p-q)^2 \}} / mL \leq \rho T / C$ (11) なる関係が成立する。したがって、 L を固定して考える場合には、式(11)を満足する p, q を精度としても複数の検知器の使用が要求されるということになるし、逆に

、検知器の精度として ρ がすでに与えられた場合は、式(11)を満足するしか適正な交通密度の計測区間長ということになるのである。

3. 空間オキュバンシーの計測区間長を決定する一方法 空間オキュバンシーの計測は長大ループによるのが普通であるが、その長さはコスト的にはできるだけ短かい方がよい。しかしながら、計測値からより広範囲の空間オキュバンシーを推定しようとするときには、あまりに短かい計測区間長は、推定精度の低下につながるおそれもあり、そこには必ずから適正な計測区間長（長大ループの長さ）があると考えられる。いま、しづら区間長のm車線道路における空間オキュバンシーをXとし、その確率密度関数を $g^*(X)$ とすると、それは次のようにして求められる。すなわち、対象道路区间内に存在する車の台数をn、車長をLとし、 $Z = L/mL$ の確率密度関数を $g(Z)$ とすると、この場合の空間オキュバンシーの確率密度関数 $g^*(X)$ は $g^*(X) = g^{**}(X)$ (12) となる。ここに、 $g^{**}(X)$ は $g(X)$ のn重コンボリューションを表すものとする。式(12)で与えられる $g^*(X)$ を用いることとする $g^*(X)$ は $g^*(X) = P_n(L)S(X) + \sum_{n=1}^{\infty} P_n(L) \cdot g_n^*(X)$ (13) となる。ここに、 $S(X)$ はデルタ-関数、 $P_n(L)$ はしづら区间にn台の車が存在する確率である。以上より、 $g^*(X)$ は $g(X)$ と $P_n(L)$ が与えられれば決定されることがわかる。さて、図-1に示したように、Lを計測区間長、 L_0 を推定区間長としたとき、推定精度を与えたれた水準に満たすためのLの決定方法について考える。いま、区间Lの空間オキュバンシーがXであるとき、区间 L_0 の空間オキュバンシーがYである確率密度を $g^{**}(Y|X)$ とすると $g^{**}(Y|X) = g^{L_0-L}(L_0Y - LX)/(L_0 - L)$ (14) となる。なぜならば、($L_0 - L$)区间の空間オキュバンシーをZとすると、 L_0 区间にYが生ずる($= 1 - m(L_0 - L)/Z + mLX = mL_0Y$) (15) が成立しなければならず、L区间にXが生じたという条件下では、このことは($L_0 - L$)区间で式(15)を満たすZ、すなわち $Z = (L_0Y - LX)/(L_0 - L)$ (16) が生ずることに等価であるからである。式(16)で $0 \leq Z \leq 1$ より、 $(L/L_0)X \leq Y \leq 1 - (L/L_0)(1-X)$ (17) となる。さて、区间LでXが計測されたとき、区间 L_0 の空間オキュバンシーもXとして推定するものとすると、その場合の誤差Eは $E = Y - X$ (18) となる。また、このEの分布を求める。式(18)より、 $Y = E + X$ (19) となるから、これを式(14)に代入することによりEの確率密度関数が得られる。よって、 $|E| > Y$ の割合 ($0 < \alpha < 1$) 以上による確率 $P_{\text{prob}}\{|E| > Y | X\}$ は、式(17)、(18)より $-\{1 - (L/L_0)\}X \leq E \leq \{1 - (1-X)\} \cdot \{1 - (L/L_0)\}$ (20) となること、および式(19)の実際を考慮すると $P_{\text{prob}}\{|E| > Y | X\} = \int_{-\{1 - (L/L_0)\}X}^{\infty} g^{L_0-L}(X + \{L_0/(L_0 - L)\} \cdot E) dE + \int_{-\{1 - (L/L_0)\}X}^{\infty} g^{L_0-L}(X + \{L_0/(L_0 - L)\} \cdot E) dE$ (21) となる。ただし、上式の第1項は $\{1 - (L/L_0)\}(1-X) \leq \{\alpha/(1-\alpha)\} \cdot X$ (22) すなわち、 $X \geq \{(1-\alpha)(L_0 - L)\} / \{L_0 - L(1-\alpha)\}$ (23) のときには成立しない。また、第2項は $\alpha < \{1 - (L/L_0)\}$ (24) すなわち $L(1+\alpha) < L_0$ (25) のとき成立する。以上より、 L_0 区间の推定値の誤差が実際の値の割合よりも大きくなる確率 α を与えたれた水準以下に満たすためには次式の成立を要する。

$$\int_{-\{1 - (L/L_0)\}X}^{\infty} P_{\text{prob}}\{|E| > Y | X\} g^*(X) dX = \int_{-\{1 - (L/L_0)\}X}^{\infty} \left\{ \int_{-\{1 - (L/L_0)\}X}^{\infty} g^{L_0-L}(X + \{L_0/(L_0 - L)\} \cdot E) dE \right\} g^*(X) dX + \int_{-\{1 - (L/L_0)\}X}^{\infty} g^{L_0-L}(X + \{L_0/(L_0 - L)\} \cdot E) \cdot g^*(X) dX \leq \alpha \quad (26)$$

よって、式(26)を満たすようなLの最小値を、式(25)の範囲で探し出せば、それが与えられた推定精度を有する適正な空間オキュバンシーの計測区間長すなわち長大ループの長さといふことになる。

4. まとめ 以上、交通密度の計測誤差の分布と空間オキュバンシーの計測区間長の決定法に関する、理論的な考察を行はつたが、実証的研究については今後の発展にまづおまぼうらしい。

参考文献

- 1) 鹿谷：交通量と時間オキュバンシーに関する確率論的考察、土木学会論文報告集、No.210, pp.47~55, 1973-2
- 2) 鹿谷他：交通量の計測誤差について、第9回日本道路会議一般論文集, pp.523~524, 昭和44年10月
- 3) 鹿谷：空間オキュバンシーと交通密度に関する基礎的考察、土木学会中部支部研究発表会講演概要集, 昭和48年2月

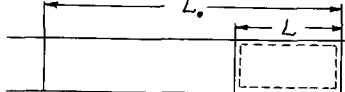


図-1 計測区间と推定区间